

II-57 剛域をもつて不完全に剛り結された

円弧および抛物線部材の接角式

九州大学工学部 正員 山崎徳也

(I) 緒言 鋼構造では、鉄筋溶接接合部の不完全剛り結性を認めねばならぬ場合が多く、又、鉄筋コンクリート構造でもヒンジ剛でモーメントを受けるものがあり、これ亦不完全剛り結として取扱ふべきである。直線部材の不完全剛り結ラーメンについては、著者とかつて研究⁽¹⁾⁽²⁾⁽³⁾したが、曲線部材と含む場合の解法は尚未といつても未解決の分野⁽⁴⁾にあつてゐる。又、柱の中成は剛域と無視して直線部材ラーメンと対象とする近似も場合によつて必ずしも安全側のみとはいへず、建築分野では直線部材にこれを取り入れて計算している。以上の必然理由より曲線部材を対象として剛域不完全剛り結性を取り入れ、両者とも直角する場合にも又いすれか一方のみ存在する場合にも役立てるために、本研究の如き標題事項の設定が必要となり、各種素の影響の意味といつてはその成果を利用しての経済設計等種々の問題が提示され、又本研究は更に中向ヒンジと附加した接角式⁽⁴⁾を併用すれば、部材内の1度の連続性が失われた場合の応力状態の変化の研究および極限設計への応用も可能となる。

(II) 接角式 円弧部材と抛物線部材に分け、前者は等断面、後者は断面2次モーメントの1&2次変化と仮定した特例として $I_{COS\phi} = I_C$ を含め得ようじた。従つて両者の相違は式中の係数内容であり式の説明過程は全く等しい。剛域はその性質上回転はすきが嫌まないものといつて曲線部材の両端に附加され、これに統く位置に不完全剛り結接合部を設け、不完全剛り結に基づく附加回転角はその度のモーメントに比例するという慣用仮定を採用した。基本式は次式と用ひる。

$$\text{円弧部材} \quad \left\{ \begin{array}{l} M_{AB} = 2EK \{ (K+1) \tau_A + K \tau_B \} + \lambda H - C_{AB} \\ M_{BA} = 2EK \{ K \tau_A + (K+1) \tau_B \} - \lambda H + C_{BA} \end{array} \right.$$

$$\text{抛物線部材} \quad \left\{ \begin{array}{l} M_{AB} = 2EK (2A_0 \tau_A + B_0 \tau_B) + \frac{2}{3} f D_0 H - C_{AB} \\ M_{BA} = 2EK (B_0 \tau_A + 2A_0 \tau_B) - \frac{2}{3} f D_0 H + C_{BA} \end{array} \right.$$

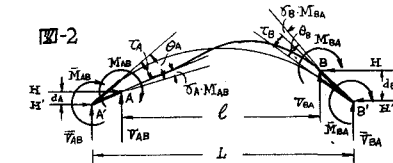
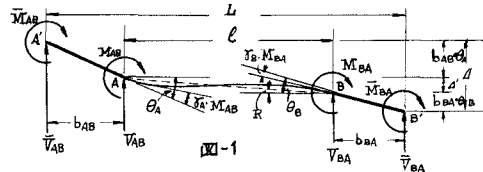
図-1は、簡単ため直線部材の变形図と示したが、曲線でも取扱い方は全く同じで、たゞ A' , B' に水平反力 H' が、 A , B に H がかかるに加えて、部材角 $R = \frac{l}{4}$ であることに注意すべきである。又 $H = H'$ である。いま $2EK \tau_A = \alpha$, $2EK \tau_B = \beta$ とおけば、所要の接角式は次式を得る。 T' は $2\pi/4$ アーチ部材の垂直、水平反力をある。

$$i) \text{円弧部材: } M_{AB} = \frac{1}{1+(K+1)(\alpha+\beta)+(2K+1)\beta} [2EK(D_{AA}\theta_A + D_{AB}\theta_B - D_{AC}R) - F_{AC}C_{AB} - F_{AB}C_{BA}] + \lambda G_A H + G'_A H' - V_{AB} b_{AB} + H''_{AB} d_A$$

$$M_{BA} = \frac{1}{1+(K+1)(\alpha+\beta)+(2K+1)\beta} [2EK(D_{BA}\theta_A + D_{BB}\theta_B - D_{BC}R) + F_{BA}C_{AB} + F_{BB}C_{BA}] + \lambda G_B H + G'_B H' + V_{BA} b_{BA} - H''_{BA} d_B$$

$$ii) \text{抛物線部材: } M_{AB} = \frac{1}{1+2A_0(\alpha+\beta)+(4A_0^2-B_0^2)\beta} [2EK(D_{AA}\theta_A + D_{AB}\theta_B - D_{AC}R) - F_{AC}C_{AB} - F_{AB}C_{BA}] + \frac{2}{3} f D_0 G_A H + G'_A H' - V_{AB} b_{AB} + H''_{AB} d_A$$

$$M_{BA} = \frac{1}{1+2A_0(\alpha+\beta)+(4A_0^2-B_0^2)\beta} [2EK(D_{BA}\theta_A + D_{BB}\theta_B - D_{BC}R) + F_{BA}C_{AB} + F_{BB}C_{BA}] - \frac{2}{3} f D_0 G_B H + G'_B H' + V_{BA} b_{BA} - H''_{BA} d_B$$



円弧部材	
D_{AA}	$K+1 + (2K+1)\beta + (2K+1)(1+\beta) \frac{b_{AB}}{2} + (2K+1)(2+\alpha+\beta) \frac{b_{AB}^2}{2}$
D_{AB}	$K+1 + (2K+1)(1+\beta) \frac{b_{AB}}{2} + (2K+1)(1+\beta) \frac{b_{AB}^2}{2} + (2K+1)(2+\alpha+\beta) \frac{b_{AB} b_{BA}}{2}$
D_{BB}	$K+1 + (2K+1)d + 2(2K+1)(1+\beta) \frac{b_{AB}}{2} + (2K+1)(2+\alpha+\beta) \frac{b_{AB}^2}{2}$
D_{AC}	$(2K+1)\{(1+\beta) + (2+\alpha+\beta) \frac{b_{AB}}{2}\}$
D_{BC}	$(2K+1)\{(1+\beta) + (2+\alpha+\beta) \frac{b_{AB}}{2}\}$
F_{AA}	$1 + (K+1)\beta + \{1 - Kd + (K+1)\beta\} \frac{b_{AB}}{2}$
G_A	$\{1 + (2K+1)\beta - (2K+1)(1+\beta) \frac{b_{AB}}{2}\} / \{1 + (K+1)(2+\alpha+\beta) + (2K+1)\beta\}$
G_B	$\{-1 + (2K+1)\beta - (2K+1)(1+\beta) \frac{b_{AB}}{2}\} / \{1 + (K+1)(2+\alpha+\beta) + (2K+1)\beta\}$
F_{AB}	$K\beta + \{K\beta - (K+1)d - 1\} \frac{b_{AB}}{2}$
G_A'	$\{1 + b_{AB}/2\} d - \frac{b_{AB}}{2} \cdot d_B$

抛物線部材	
D_{AA}	$2A_0 + (4A_0^2 - B_0^2)\beta + 2(A_0 + B_0)\beta \frac{b_{AB}}{2} + (2A_0 + B_0)\beta + (2A_0 - B_0)\alpha \frac{H''_{AB}}{2}$
D_{AB}	$B_0 + (2A_0 + B_0)\beta \{1 + (2A_0 + B_0)\alpha\} \frac{b_{AB}}{2} + (2A_0 + B_0)\beta \{1 + (2A_0 - B_0)\alpha\} \frac{b_{AB}}{2} + (2A_0 + B_0)\beta \{2 + (2A_0 - B_0)\alpha\} \frac{b_{AB}}{2}$
D_{BB}	$D_{AA} + \alpha \beta B_0 + (2A_0 + B_0) \times (2A_0 - B_0) \beta \frac{b_{AB}}{2}$
D_{AC}	$(2A_0 + B_0)\beta \{1 + (2A_0 + B_0)\alpha\} + (2A_0 + B_0)\beta \{2 + (2A_0 - B_0)\alpha\} + (2A_0 - B_0)\beta \frac{b_{AB}}{2}$
D_{BC}	$D_{AC} + \alpha \beta B_0 + (2A_0 - B_0) \times (2A_0 - B_0) \beta \frac{b_{AB}}{2}$
F_{AA}	$1 + 2A_0\beta + \{1 + 2A_0\beta - B_0\alpha\} \frac{b_{AB}}{2}$
F_{AB}	$B_0\beta + \{B_0\beta - 2A_0\alpha - 1\} \frac{b_{AB}}{2}$
G_A	$\{1 + (2A_0 + B_0)\beta + (2A_0 + B_0)(1+\beta) \frac{b_{AB}}{2}\} / \{1 + 2A_0(d + \beta) + (4A_0^2 - B_0^2)d\}$
G_B	$G_A \alpha \beta B_0 + (2A_0 - B_0) \times (2A_0 - B_0) \beta \frac{b_{AB}}{2}$
G_A'	$\{1 + b_{AB}/2\} d - \frac{b_{AB}}{2} \cdot d_B$

$a, \beta = 0$ とすれば、完全剛結の式となり、 $b, d = 0$ とすれば、剛域は徐かれ、この両者と用いれば、円弧材は直ちに、抛物線材は更に2次変化率を0として基本式に導かれて、又円弧材では中辺角0、抛物線材では $f=0$ とすれば何れも不完全剛結直線部材に剛域を考慮した式となり、各要素とのかけは「当然」費用直線接角式が得られる。

(II) 計算例 右図の如き抛物線部材をもつ2スパン

ラーメンを例にヒント、下記の表-1~5 の内容を構成し得るよろしく
都合 10種類につき

計算をおこなひま
め2みつ。

	$b/l = 1/25.223$	$b/l = 1/13$
剛域無視の時	$k = 0.2456$	$k = 0.2456$
剛域考慮の時	$k = 0.2651$	$k = 0.2834$

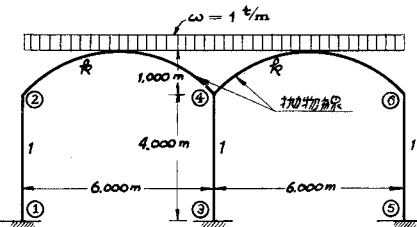


表-1

表-2

表-3

	完全剛結 ($\alpha=0$)			不完全剛結 ($\alpha=0.303$)			$\gamma=0$			$\gamma=\infty$		
	1	2	3	1	2	3	1	2	1	2	1	2
	$b/l = 0$	$1/25.223$	$1/13$	$b/l = 0$	$1/25.223$	$1/13$	$b/l = 0, \alpha = 0.303$	$1/25.223, 0.303$	$0, 0.303$	$0, 0.303$	$0, 0.707$	$0, 0.707$
\bar{M}_{12}	+2.034 ^{t/m}	+1.805 (-12.9%)	+1.592 (-22.9%)	+3.206 ^{t/m}	+2.621 (-18.2%)	+2.242 (-31.6%)	+3.206 ^{t/m}	+2.308 (-12.6%)	+4.415 ^{t/m}	+2.820 (-36.1%)	+3.286 ^{t/m}	+4.415 (+34.4%)
$\bar{M}_{21}, -\bar{M}_{24}$	+2.216	+2.154 (-2.6%)	+2.066 (-6.3%)	+1.601	+1.504 (+6.5%)	+1.542 (+8.2%)	+1.601	+1.692 (+4.5%)	+0.300	+1.068 (+52.6%)	+1.601	+0.920 (-56.3%)
\bar{M}_{42}	+2.320	+2.483 (+3.0%)	+2.595 (+11.9%)	+1.203	+1.413 (+13.8%)	+1.561 (+29.8%)	+1.203	+1.381 (+14.8%)	+0.461	+0.916 (+98.7%)	+1.203	+0.461 (-61.3%)

表-4

表-5

	$\alpha=0$ と $\gamma=\infty$ の場合の差の %		剛域無視 ($\gamma=0$)			$b/l = 1/25.223$		$b/l = 1/13$	
	1	2	1	2	3	1	2	1	2
	$b/l = 1/25.223$	$b/l = 1/13$	$\alpha = 0$	$\alpha = 0$	$\alpha = 0$	$\alpha = 0.707$	$K = 0.303$	$\alpha = 0.707$	$K = 0.303$
\bar{M}_{12}	+1.4%	+1.3%	+2.034 ^{t/m}	+3.206 ^{t/m}	+4.415 ^{t/m}	+1.805 ^{t/m}	+2.621 ^{t/m}	+2.308 ^{t/m}	+2.820 ^{t/m}
$\bar{M}_{21}, -\bar{M}_{24}$	-1.9%	-4.5%	+2.216	+1.601 (-29.8%)	+0.700 (-68.4%)	+2.157 ^{t/m}	+1.542 ^{t/m}	+1.692 ^{t/m}	+2.066 (-40.3%)
\bar{M}_{42}	-2.6%	-3.9%	+2.320	+1.203 (-48.2%)	+0.461 (-80.1%)	+2.483 ^{t/m}	+1.561 ^{t/m}	+1.381 (-44.4%)	+0.916 (-64.9%)

以上、表-1, 2, 3, 5 の % は、すばり 1 扉に対する 2, 3 扉の増減と 1 扉に対するものである。表-1 は α を一定にして剛域の影響を吟味したものである。表-2 は不完全剛結の $\gamma=0$ と $\gamma=\infty$ の構造でそれ剛域の影響を比較したものであり、表-3 は、表-2 の見方と変わるもので、柱、梁の寸法は異なるが剛域は一貫して同じ 2 つの同一形状ラーメンで、剛域と無視した場合同一寸法の比較であり、 $\gamma=0$ 即ち完全剛結時は合致するのとは、大いに異なる事が分る。22、表-1、表-2 の如き 2 種類の以が考へられ、中を無視した時に用いたものを、そのまゝ利用するのと、その時の γ にむづく剛度への変化と取入れ新たに算出する場合とであり、後者はいかが煩雑で前者の近似を認めにくく、この點から 2 扉を表-4 に比較した。結果によれば誤差は、かりに小さく目的によつては無視しえるものといへる。表-5 は、 γ と $\gamma=\infty$ の場合について剛域別に不完全剛結性の影響を比較したものであり、大きい影響が認められる。

(IV) 結び 計算例は見えて、各要素の影響は高く、本研究の有意味が十分認められる。最後に、本山茂男、南九郎、浅田忠則、小山山彦の諸君の御協力を感謝する。

(1) 山口: “不完全剛結ラーメンの解法に応用する換算係数法” 木造会誌 14巻 7号 (2) 山口: “橋梁剛結を考慮したトラス＝次元法の算定法” 九大工学報 25巻 2号 (3) 山口: “三面B曲四壁ラーメンの安全率の一抗張: 増大” 九大工学報 25巻 3・4号 (4) 山口: “中面に90°内折り以及て抛物線材による完全剛結性と剛域考慮した算定法” 昭和35年筑波工芸会西部支部研究発表会=2回発表 昭和36年2月 (5) T. Murakazai: “Studies on the Slope-deflection Method” 九大工学報 14巻 1号 (6) 希田: “抛物線形部材と直線ラーメンに対する換算換算法の応用” 九大工学報研究報告 2巻